

Министерство образования и науки Украины
ХАРЬКОВСКИЙ НАЦИОНАЛЬНЫЙ АВТОМОБИЛЬНО-ДОРОЖНЫЙ
УНИВЕРСИТЕТ

Северо-Восточный научный центр
Транспортной академии Украины

ВЕСТНИК
ХАРЬКОВСКОГО НАЦИОНАЛЬНОГО
АВТОМОБИЛЬНО-ДОРОЖНОГО УНИВЕРСИТЕТА
Сборник научных трудов

Выпуск 71

BULLETIN
of
KHARKIV NATIONAL
AUTOMOBILE AND HIGHWAY UNIVERSITY

Collection of Scientific Works

Issue 71

Харьков 2015

СОДЕРЖАНИЕ

МАШИНОСТРОЕНИЕ

<i>Подригalo М.А., Абрамов Д.В., Тесля В.О.</i> Визначення необхідного запасу потужності двигуна в момент розгону автомобіля, що здійснює обгін	7
<i>Воронков А.И.</i> Изменение по скоростным характеристикам показателей рабочего процесса при подогреве сжатого воздуха на входе в пневмодвигатель.....	13
<i>Андрієнко С.В., Устиненко А.В., Протасов Р.В.</i> Методика анализа и повышения ресурса цепной передачи по критерию износа зуба звездочки с эволютным профилем	17
<i>Хорошилов О.Н.</i> Разработка методики испытания медных сплавов в температурном интервале их формообразования.....	25
<i>Волков Ю.В.</i> Ретроспективный анализ и перспективы развития технической эксплуатации автомобилей.....	30
<i>Семків О.М.</i> Метод визначення особливих тракторій коливань вантажу 2d-пружинного маятника.....	36

ДОРОЖНО-СТРОИТЕЛЬНЫЕ МАТЕРИАЛЫ

<i>Батракова А.Г., Ряпухин В.Н., Воропай А.В., Дорожко Е.В., Егоров П.А.</i> Исследование деформирования образца из асфальтобетона на раскол с использованием тензометрической аппаратуры	45
<i>Кудрявцева Вальдес С.В.</i> Влияние поверхностно-активных веществ на сцепление окисленных и остаточных битумов с твердой подложкой	50
<i>Кожушко В.П.</i> Гибкая плита, одна сторона которой защемлена, а противоположная ей сторона опирается на две стойки, установленные в угловых точках.....	54
<i>Богомолов В.О., Жданюк В.К., Цинка А.О.</i> Граница поверхня за законом Кулона при 3-Д розрахунках нежорстких дорожніх одягів на міцність	59
<i>Янчевський І.В.</i> Прогнозування добової зміни термов'язкопружного стану дорожнього одягу. Частина 2. Се-аналіз температурного поля	64
<i>Шмуклер В.С., Бугаевский С.А., Никулин В.Б.</i> Система «Монофант» для возведения монолитных железобетонных каркасов	70

ЭКОЛОГИЯ

<i>Лейбович Л.И., Пацурковский П.А.</i> Окисление сероводорода во влажном воздухе.....	85
<i>Хоботова Э.Б., Игнатенко М.И.</i> Радионуклидный состав отходов энергетической отрасли	91
<i>Чугай А.В.</i> Оцінка впливу експлуатації автозаправних станцій на навколошніс природне середовище.....	97
<i>Третьяков О.В., Безсонний В.Л.</i> Оцінка впливу стічних вод на екологічний стан річки Сіверський Донець.....	103
<i>Карпенко В.А., Перегон В.А., Левченко А.Н., Коряк А.А.</i> Вопросы шума при взаимодействии шины с дорогой	109

МЕХАТРОНИКА

<i>Єфименко О.В., Плугіна Т.В.</i> Комп'ютерне моделювання робочих процесів одноківшових навантажувачів	113
<i>Чаговець В.В., Чаговець Л.О.</i> Сучасний напрям використання інформаційно-комунікаційних технологій	118

АВТОМОБИЛЬНЫЕ ДОРОГИ

<i>Сахацкий В.Д.</i> Сверхширокополосный излучатель для георадарных систем контроля автомобильных дорог	125
---	-----

БЕЗОПАСНОСТЬ ДВИЖЕНИЯ

<i>Швец Р.М., Осташевский С.А.</i> Альтернативный подход к терминальному управлению дистанцией между автомобилями в условиях прогнозируемой угрозы движению	132
<i>Внукова Н.В.</i> Основні принципи використання критеріїв ризику до оцінювання безпеки функціонування АДС	138
<i>Мироненко С.В., Ласка Р.В.</i> Безпека руху та захист мостів від поверхневої води	146
<i>Осташевський С.О., Башинський А.Л.</i> Альтернативний підхід до оцінки поперечної стійкості автомобіля	151

CONTENTS

MACHINE BUILDING

<i>Podryhalo M., Abramov D., Teslya V.</i> Determining the necessary engine reserve power capacity at the moment of overtaking car acceleration	7
<i>Voronkov A.</i> Change of working process indexes according to speed characteristics when heating the compressed air during the admittance to the pneumatic engine	13
<i>Andrienko S., Ustinenko A., Protasov R.</i> Methods of analysis and increase of the chain drive resource by the criterion of sprocket tooth wear with evolute profile	17
<i>Khoroshilov O.</i> Development of copper alloy test methods within the temperature range of their forming process	25
<i>Volkov Yu.</i> Retrospective analysis and the prospects of development of technical maintenance of vehicles	30
<i>Semkiv O.</i> The method of determining special load oscillation trajectories of the 2d-spring pendulum	36

ROAD-BUILDING MATERIALS

<i>Batrakova A., Riapukhin V., Voropay A., Dorozhko Ye., Yegorov P.</i> Research of asphalt-concrete sample deformation for splitting using tensiometric equipment	45
<i>Kudriavtseva Valdes S.</i> Influence of surface-active substances on adhesion of oxidized and residual bitumen with a solid support	50
<i>Kozhushko V.</i> Flexible plate one side of which is restrained and the opposite one rests on two legs set at the corner points	54
<i>Bogomolov V., Zhdanyuk V., Tsynka A.</i> Boundary surface by coulomb's law at 3-D calculations of flexible pavements according to strength	59
<i>Yanchevskyi I.</i> Prediction of daily change of the thermoviscoelastic state of road pavement. Part 2. Fem-analysis of the temperature field	64
<i>Shmutkler V., Buhayevskyi S., Nikulin V.</i> «MONOFANT» system for construction of cast reinforced concrete frames	70

ECOLOGY

<i>Leibovich L., Patsurkovskyi P.</i> Hydrogen sulfide oxidation in humid air	85
<i>Khobotova E., Ignatenko M.</i> The radionuclide composition of wastes produced by power industry	91
<i>Chuhay A.</i> Evaluation of the impact of petrol stations opration on the environment	97
<i>Tretiakov O., Bezsonnyi V.</i> Assessment of impact of sewage waters on the environmental state of the Siverskyi Donets river	103
<i>Karpenko V., Perehon V., Levchenko A., Koryak A.</i> Problems of noise generation at tire interaction with the road surface	109

MECHATRONICS

<i>Yefimenko A., Pluhina T.</i> Computer design of working processes of single-bucket loading machines	113
<i>Chahovets V., Chahovets L.</i> Modern trend of using information and communication technologies.....	118

HIGHWAYS

<i>Sakhatskyi V.</i> Ultra-wideband transmitter for highway GPR control systems	125
---	-----

TRAFFIC SAFETY

<i>Shvets R., Ostashevskyi S.</i> Alternative approach to terminal controlling the distance between vehicles in conditions of predictable traffic collision	132
<i>Vnukova N.</i> The main principles of using risk criteria for evaluation of RAE system safe functioning	138
<i>Myronenko S., Laska R.</i> Traffic safety and protection of bridges against superficial water.....	146
<i>Ostashevskyi S., Bushynskyi A.</i> An alternative approach to assessing the latteral stability of the car.....	151

УДК 515.2

МЕТОД ВИЗНАЧЕННЯ ОСОБЛИВИХ ТРАЄКТОРІЙ КОЛІВАНЬ ВАНТАЖУ 2D-ПРУЖИННОГО МАЯТНИКА

О.М. Семків, к.т.н., ст.н.с.,
Національний університет цивільного захисту України, м. Харків

Анотація. Розроблено метод визначення засобами диференціального числення та комп'ютерної графіки геометричної форми особливої траєкторії переміщення по площині вантажу 2d-пружинного маятника залежно від маси вантажу, початкової довжини пружини у ненавантаженому стані, коефіцієнта жорсткості пружини та початкових умов виникнення коливань.

Ключові слова: 2d-пружинний маятник, інтегральна крива, фазова траєкторія, коефіцієнт жорсткості пружини, комп'ютерна графіка.

МЕТОД ОПРЕДЕЛЕНИЯ ОСОБЫХ ТРАЕКТОРИЙ КОЛЕБАНИЯ ГРУЗА 2D-ПРУЖИННОГО МАЯТНИКА

О.М. Семків, к.т.н., ст.н.с.,
Национальный университет гражданской защиты Украины, г. Харьков

Аннотация. Разработан метод определения средствами дифференциального исчисления и компьютерной графики геометрической формы особой траектории перемещения по плоскости груза 2d-пружинного маятника в зависимости от массы груза, начальной длины пружины в ненагруженном состоянии, коэффициента жесткости пружины и начальных условий возникновения колебаний.

Ключевые слова: 2d-пружинный маятник, интегральная кривая, фазовая траектория, коэффициент жесткости пружины, компьютерная графика.

THE METHOD OF DETERMINING SPECIAL LOAD OSCILLATION TRAJECTORIES OF THE 2D-SPRING PENDULUM

O. Semkiv, Ph. D. (Eng.), Sr. Researcher,
National University of Civil Protection of Ukraine

Abstract. A method for determining a geometric shape of a special trajectory of movement of the 2D-spring pendulum weight on the path by the means of differential calculus and computer graphics, depending on the load weight, the initial length of the spring in the unloaded condition, the coefficient of spring rigidity and the initial conditions of oscillation occurrence is developed.

Key words: 2D-spring pendulum, integral curve, phase trajectory, spring rigidity coefficient, computer graphics.

Вступ

Пружинним маятником називають коливальну систему з механічною пружиною (або замінником її функцій – деяким еластичним матеріалом), що закріплена одним кінцем

стационарно, а на іншому кінці знаходиться вантаж певної маси. При цьому заведено вважати, що вантаж коливається виключно завдяки зусиллям пружини – як у бік її стиснення, так і у бік її розтягнення, і що конструктивно забезпечується поперечне «незги-

нання» пружини. Звичайно пружину розглядають за умови нерухомості її осі. Тобто зазначене «одновимірне» коливання пружини здійснюється переважно завдяки еластичним властивостям матеріалу, з якого її виготовлено.

Але конструкторів може зацікавити [1–3] і «двовимірне» коливання тіла пружини у вертикальній площині xOy навколо стаціонарно закріпленого кінця, подібно до коливання траєкторійного математичного маятника (рис. 1).

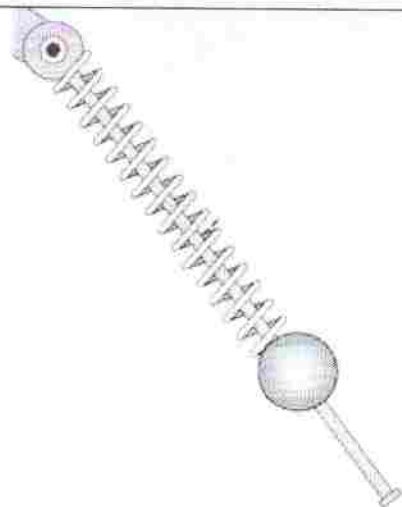


Рис. 1. Схема 2d-пружинного маятника

Далі зазначену коливальну конструкцію будемо називати 2d-пружинним маятником (тобто такою, яка здійснює коливання у площині). Трасекторію коливання вантажу назовемо слід на площині, одержаний в результаті його переміщення. Особливого трасекторію вважатимемо таку лінію, геометрична форма якої відрізняється деякою закономірністю порівняно з траекторіями переміщення вантажу в результаті хаотичних коливань 2d-пружинного маятника.

Аналіз публікацій

Доцільність дослідження 2d-пружинних маятників виникла у зв'язку з виявленими можливостями їх «нестандартних» використань як у теоретичному плані, так і на практиці [1–5]. Дійсно, відомі зв'язки пружинних маятників з фазовими траекторіями динамічних систем на поверхні тора, а також із теорією математичних більярдів [7]. У роботі [10] наведено розрахунки коливань 2d-пружинного маятника, але без аналізу впливу його

параметрів. Крім того, диференціальні рівняння коливань 2d-пружинних маятників подібні до рівнянь задач «хижак–жертва» [6], що відкриває напрям дослідень. При зазначених коливаннях цікавість викликає геометрична форма траекторії переміщення по площині xOy вантажу [8–10]. Ця траекторія ілюструє розв'язок відповідних диференціальних рівнянь (1), що описують коливання 2d-пружинного маятника. Одержані геометричні форми траекторії переміщення по площині вантажу допоможуть ілюструвати розв'язки певних задач (наприклад, задачі «хижак–жертва» [6]), і їх розгляд дозволить аналізувати (подібно до того, як у теорії коливань застосовують фігури Ліссажу) характер розв'язків у суміжних за змістом задачах.

Мета і постановка завдання

Метою роботи є розробка методу визначення засобами диференціального числення та комп'ютерної графіки геометричної форми особливової траекторії переміщення по площині вантажу 2d-пружинного маятника залежно від його параметрів, де головним параметром буде значення коефіцієнта жорсткості k пружини. На характер коливань 2d-пружинного маятника впливатимуть такі параметри: маса вантажу, початкова довжина пружини у не-навантаженому стані, коефіцієнт жорсткості пружини і початкові умови ініціювання коливань – такі як початковий кут відхилення осі пружини, початкова швидкість кута відхилення 2d-пружинного маятника та швидкість початкового подовження тіла пружини. Для практичних впроваджень необхідно розробити метод визначення набору значень цих параметрів, які б забезпечили особливі траекторії переміщення вантажу.

Моделювання коливань 2d-пружинного маятника

Описувати коливання 2d-пружинного маятника будемо [9] за допомогою системи диференціальних рівнянь

$$\begin{aligned} \frac{d^2}{dt^2}\theta(t) = & \\ -\frac{\frac{2}{dt}L(t)\frac{d}{dt}\theta(t) + 9.81\sin(\theta(t))}{L(t) + L_0}; & \quad (1) \\ \frac{d^2}{dt^2}L(t) = & \left(L(t) + L_0 \right) \left(\frac{d}{dt}\theta(t) \right)^2 - \end{aligned}$$

$$-\frac{kL(t)}{m} + 9,81 \cos(\theta(t)),$$

де $\theta(t)$ – кут відхилення осі маятника від вертикалі; k – коефіцієнт жорсткості пружини; m – маса маятника; $L(t)$ – функція зміни довжини пружини; L_0 – початкова довжина маятника. Крім того, необхідно задати умови: початковий кут $\theta(0)$ відхилення тіла маятника; початкову швидкість $D\theta(0)$ відхилення тіла пружини; початкову швидкість $DL(0)$ подовження тіла пружини, а також межі часу інтегрування.

Фіксуємо значення всіх параметрів, що впливають на характер коливань, крім одного (позначимо його як p), який назовемо головним і який буде змінюватися у наперед визначених межах.

Для певного значення p систему рівнянь (1) розв'яземо чисельним методом Рунге-Кутти. Це дозволяє у фазовому просторі одержати послідовність точок з координатами $\{L(t), \dot{L}(t), t\}$ або $\{\theta(t), \dot{\theta}(t), t\}$, які визначатимуть певну інтегральну криву розв'язку системи (1) (тут крапкою позначено похідну за t). Ортогональною проекцією інтегральної кривої з фазового простору на фазову площину буде фазова траекторія [11, 12].

На рис. 2 наведено зображення інтегральної кривої та фазової траекторії, які в загальному випадку матимуть хаотичний характер.

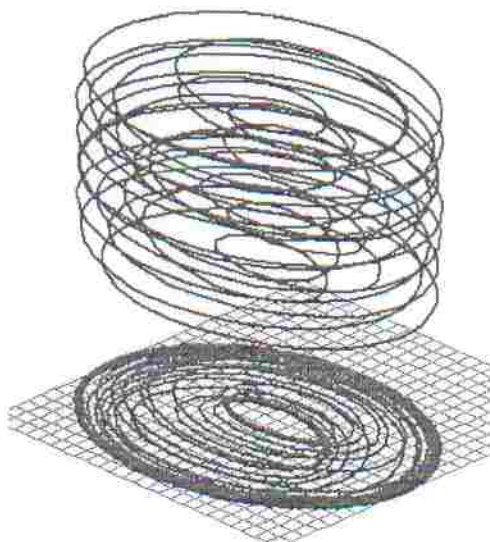


Рис. 2. Інтегральна крива та фазова траєкторія в загальному випадку

За зміни значення головного параметра p мають змінюватися як форма інтегральної кривої, так і форма фазової траекторії. Необхідно визначити таке значення p , за якого фазова траекторія набуде вигляду регулярної кривої.

Взаємопроєціючими точками інтегральної кривої назовемо такі її точки, ортогональні проекції яких на фазову площину матимуть однакові (або близькі відносно точності обчислень) координати.

Під критичним значенням параметра p вважатимемо таке, коли інтегральна крива набуде форми, за якою її точки стануть взаємопроєціючими. Наочно критичне значення параметра виявляється у тому, що фазова траекторія матиме вигляд регулярної кривої (рис. 3).

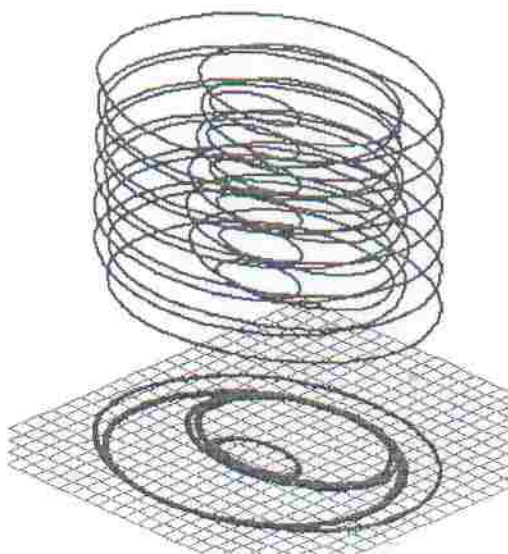


Рис. 3. Інтегральна крива та фазова траєкторія у випадку критичного значення головного параметра p

За результатами відтворення коливань 2d-пружинного маятника критичне значення k_0 відіб'ється в особливій траекторії форми коливання вантажу на площині xOy .

У загальному випадку пропонується такий алгоритм пошуку особливих траекторій.

Крок 1. Обираємо поточне значення p і шляхом розв'язання системи рівнянь (1) одержуємо поточкове подання інтегральної кривої системи (1).

Крок 2. Будуємо поточкове зображення фазової траекторії як проекції на фазову площину інтегральної кривої.

Крок 3. Здійснюємо оцінку кількості точок на фазовій площині, за умови їх можливих суміщень при проєкціюванні; ця кількість точок відповідатиме поточному значенню p .

Крок 4. Починаючи з кроку 2 виконуємо у циклі обчислення для усіх необхідних значень головного параметра p .

Крок 5. Залежно від значення параметра p формуємо функцію $Np(p)$ кількості точок на фазовій площині, які визначають зображення фазової траекторії, та обчислюємо екстремуми цієї функції.

Крок 6. За визначеними критичними значеннями параметра p перевіряємо «дію» $2d$ -маятника шляхом побудови засобами комп’ютерної графіки сліду від коливання вантажу.

Далі узагальнений алгоритм детально проілюструємо на прикладі побудови сліду від коливання вантажу $2d$ -маятника залежно від головного параметра k – коефіцієнта жорсткості пружини.

Наприклад, розв'яземо систему рівнянь (1) з параметрами $m = 1$; $L_0 = 1$ і початковими умовами: початковий кут $\theta(0) = 0$ відхилення; початкова швидкість $D\theta(0) = 0.5$ відхилення тіла пружини; початкова швидкість $DL(0) = 0$ подовження тіла пружини; час інтегрування обрано у межах 0 – 8π . Параметр k змінювався на інтервалі $15 \leq k \leq 35$, який було розділено на $S=250$ частин. Значення всіх обраних параметрів взято в умовних величинах.

Для визначення взаємопроєциючих точок інтегральної кривої було побудовано послідовність анімаційних зображень фазових траекторій на фазовій площині, здійснених засобами комп’ютерної графіки.

Наочно процес вибору критичного значення параметра має вигляд на фазовій площині «як наведення на різкість» зображення, утвореного хаотично переплетеними фазовими траекторіями (порівняти рис. 2 і 3).

Оскільки розв'язок диференціальних рівнянь одержано чисельним методом, то інтегральна крива складатиметься з окремих точок. На фазовій площині проекції цих точок можуть співпадати, тому фазову траекторію в момент виявлення критичного значення k_0 зображені менша кількість точок. На базі розробленого алгоритму для середовища Maple було складено програму обчислення кількості точок, які утворюють зображення фазової траекторії на фазовій площині за умови врахування можливих суміщень точок проекцій.

Для цього було задучено команди пакета ImageTools для формування та аналізу точкових зображень проекцій на фазовій площині. Оцінка виражається значеннями побудованої функції $Np(k)$. Критичне значення k_0 визначається мінімальною кількістю точок фазової траекторії, що на графіку функції $Np(k)$ має проявлятися як екстремум (мінімум).

У результаті виконаних обчислень одержано графік $Np(k)$ функції зміни кількості точок проекцій на фазовій площині (рис. 4). Ця функція має глобальний мінімум при $k = 18,12$, а також множину локальних мінімумів, серед яких два будуть яскраво вираженими при $k = 23,0$ і $k = 28,84$.

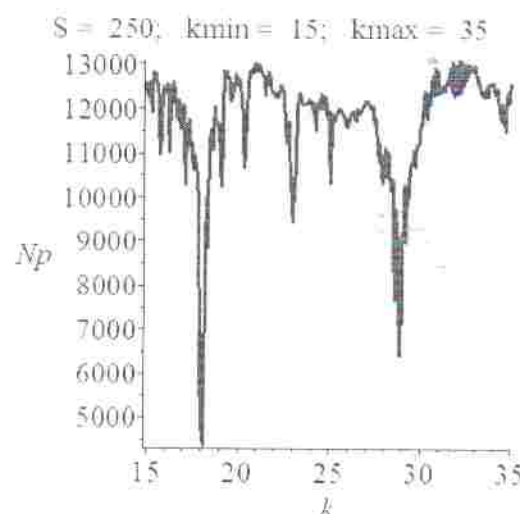


Рис. 4. Графік функції від k зміни кількості точок на фазовій площині

На рис. 5–7 наведено відповідні цим випадкам інтегральні криві та їх фазові траекторії. На кожному з рисунків 5–7 зображене відповідно до знайденого значення k фазову траекторію:

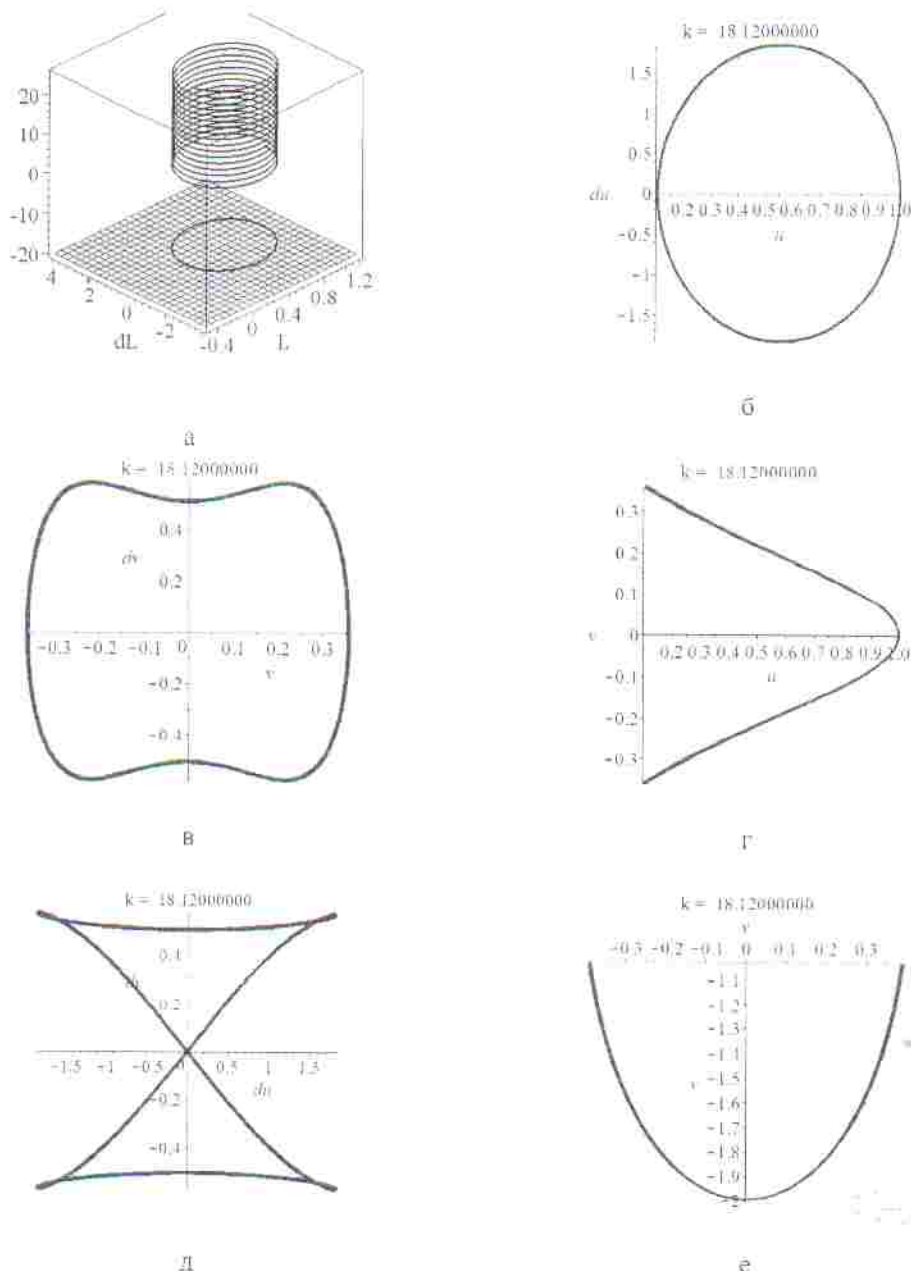
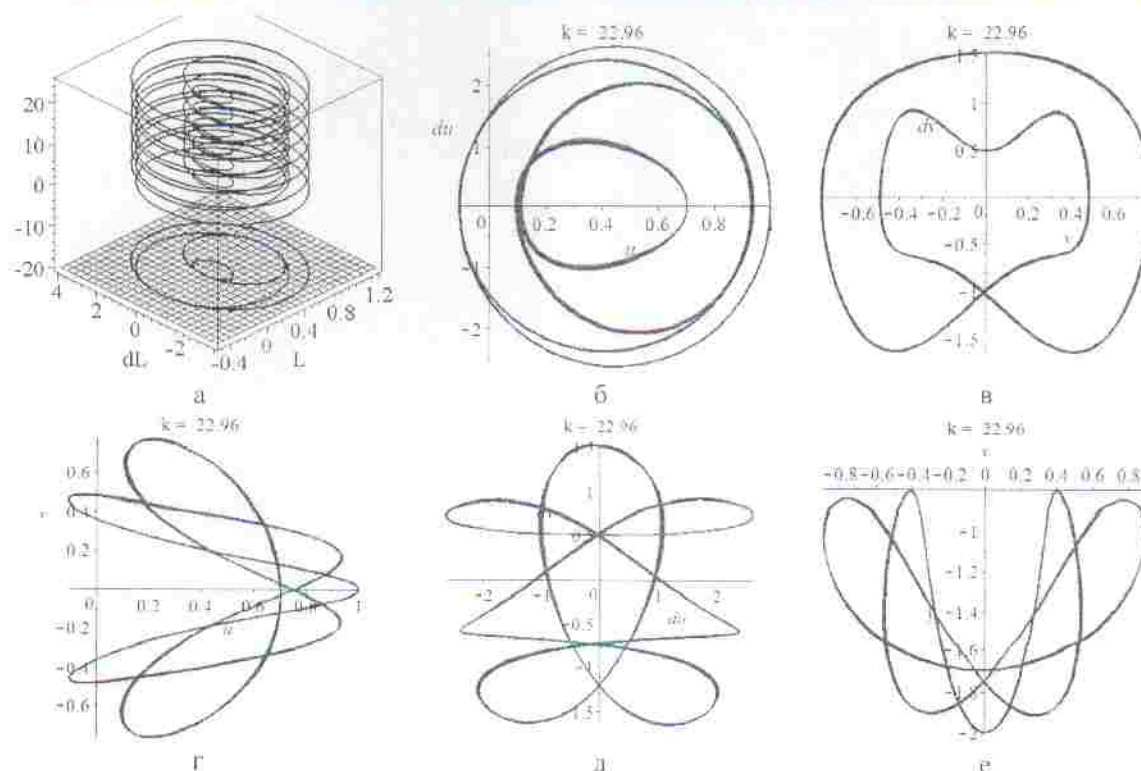
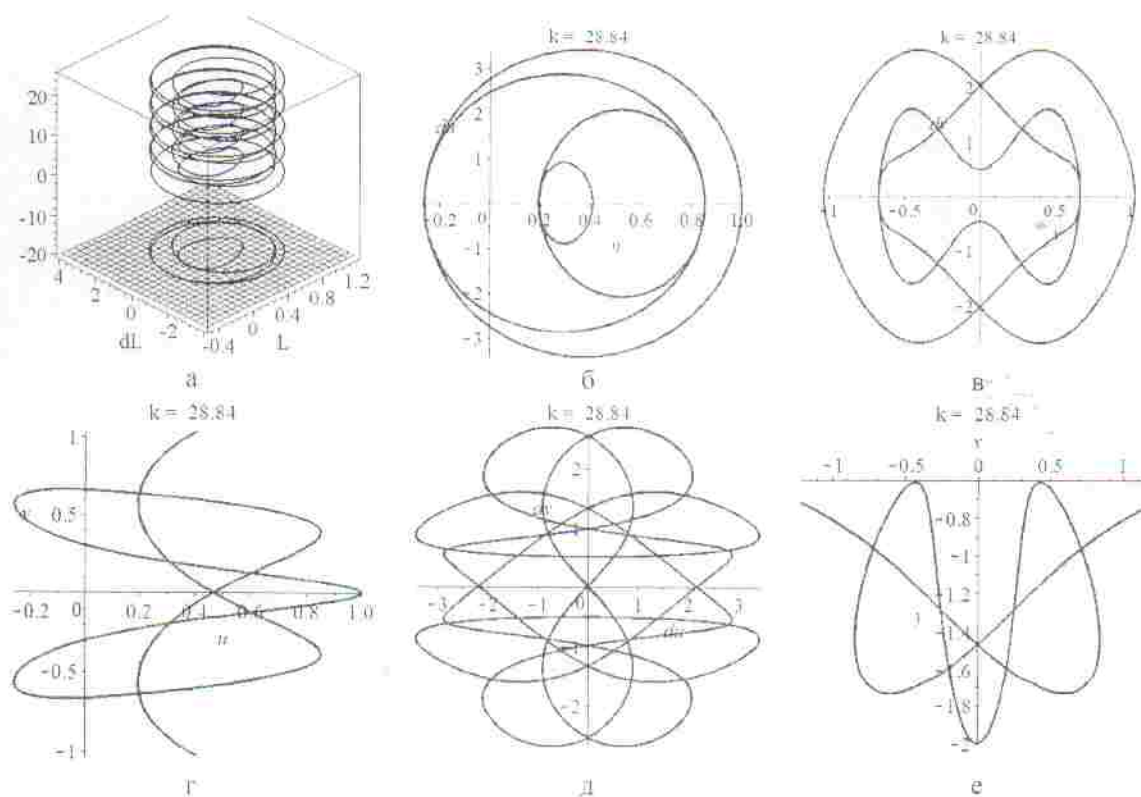


Рис. 5. Фазові траєкторії для «особливого» значення параметра $k=18.12$

- а) як проекцію інтегральної кривої у фазовому просторі $\{L(t), \dot{L}(t), t\}$;
- б) на площині $\{L(t), \dot{L}(t)\}$;
- в) на площині $\{\theta(t), \dot{\theta}(t)\}$;
- г) на площині $\{\theta(t), L(t)\}$;
- д) на площині $\{\dot{L}(t), \dot{\theta}(t)\}$, а також
- е) траєкторію коливання вантажу 2d-пружинного маятника на площині xOy .

Для побудови на площині xOy осібливих траєкторій коливання вантажу 2d-пружинного маятника за обраних значень параметрів $m=1$, $L_0=1$, $\theta(0)=0$, $D\theta(0)=0.5$, $DL(0)=0$, а також за визначеного значення $k=28.85$ необхідно розв'язати систему рівнянь (1).

Це зручно здійснити за допомогою Maple-оператора `dsolve`, де через `deg1` і `deg2` позначено відповідні диференціальні рівняння системи (1). На рис. 8 наведено текст Maple-програми.

Рис. 6. Фазові траекторії для значення параметра $k = 22.96$ Рис. 7. Фазові траекторії для значення параметра $k = 28.84$

```

k := 28.85;      # коефіцієнт жорсткості пружини
m := 1;          # маса вантажу маятника
theta0 := 0;      # початковий кут відхилення маятника
L0 := 1;          # початкова довжина пружини
Dtheta := 0.5;    # початкова швидкість відхилення маятника
DL0 := 0;          # початкова швидкість положення пружини
deq1 := diff(theta(t),t,t) = -(2*diff(L(t),t)*diff(theta(t),t)+9.81*sin(theta(t)))/(L0 + L(t));
deq2 := diff(L(t),t,t) = (L0 + L(t))*diff(theta(t),t)^2-k*L(t)/m+9.81*cos(theta(t));
sol := dsolve({deq1, deq2, L(0)=L0, theta(0)=theta0, D(L))(0) = DL0, (D(theta))(0) = Dtheta}, {L(t), theta(t)}, numeric, output=listprocedure);
Далі упорядкуємо одержаний розв'язок:
solu := subs(sol, L(t));      # розв'язок L(t)
solv := subs(sol, theta(t));   # розв'язок θ(t)
Підготуємо масив з N=250 точок для побудови сліду за умовний час T=20:
for i from 0 to N do
x[i] := solu(T*i/N); y[i] := solv(T*i/N);
x1[i] := (L0+x[i])*sin(y[i]);
y1[i] := -(L0+x[i])*cos(y[i]);
end do;
В результаті будусмо зображення особливих траєкторій коливання:
display(curve([seq([x1[i], y1[i]], i = 0 .. N)]));

```

Рис. 8. Maple-програма побудови на площині xOy особливих траєкторій коливання вантажу 2d-пружинного маятника

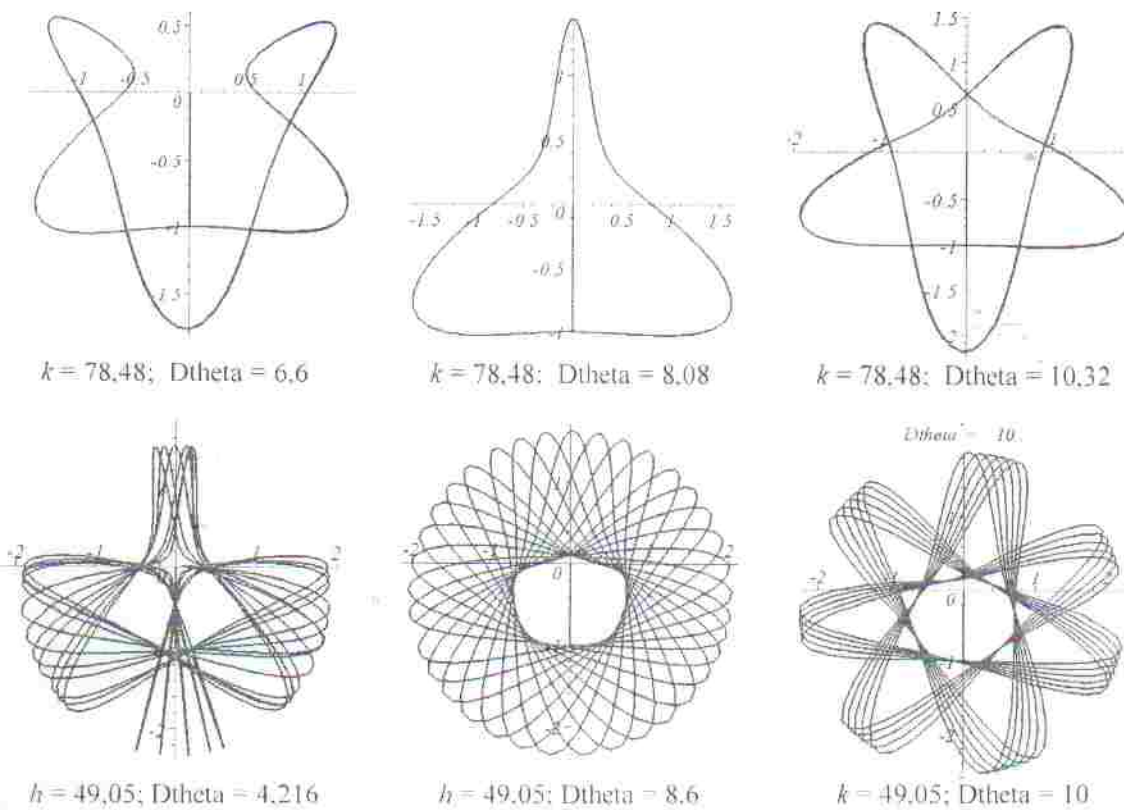


Рис. 9. Особливі траєкторії на площині xOy коливання вантажу залежно від значень k і $D\theta$ (початок)

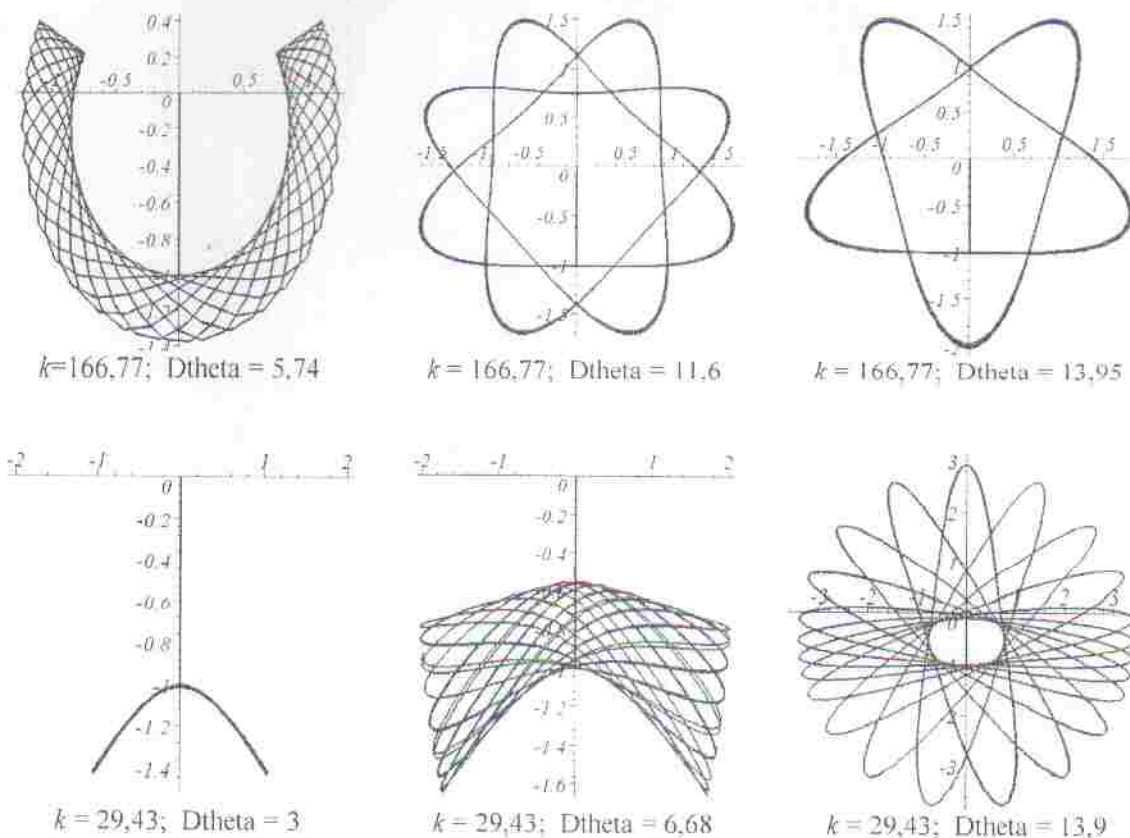


Рис. 9. Особливі траєкторії на площині xOy коливання вантажу залежно від значень k і $D\theta$ (закінчення)

У наведеному прикладі головним параметром обрано коефіцієнт жорсткості пружини k . Але таким може бути будь-який параметр, який впливатиме на геометричну форму сліду коливання вантажу $2d$ -пружинного маятника.

Продемонструємо алгоритм на прикладі вибору іншого головного параметра, наприклад, початкової швидкості кута відхилення маятника $D\theta(0)$. Для цього зафіксуємо значення $m=1$, $L_0=1$, $\theta(0)=0$, $DL(0)=0$. Залежно від вибору значень $D\theta(0)$ обчислювався коефіцієнт жорсткості k . На рис. 9 наведено відповідні особливі траєкторії на площині xOy коливання вантажу $2d$ -пружинного маятника. Їх деякі геометричні форми можна порівняти з результатами роботи [10].

Висновок

Розроблений метод дозволяє визначати геометричні форми особливих траєкторій при коливанні вантажу $2d$ -пружинного маятника

залежно від маси вантажу, початкової довжини пружини у ненавантаженому стані, коефіцієнта жорсткості пружини, а також від початкових умов ініціювання коливань – таких як початковий кут відхилення тіла пружини, початкова швидкість кута відхилення $2d$ -пружинного маятника та швидкість початкового подовження тіла пружини.

Запропонований метод дозволяє визначати множину значень параметрів, які забезпечують формування особливих траєкторій переміщення вантажу по площині. Для прикладу у даній роботі детально досліджено вплив на форму траєкторії коефіцієнта жорсткості пружини.

Метод дозволяє створювати алгоритми визначення множини критичних значень головного параметра, які відповідатимуть особливим траєкторіям коливання вантажу $2d$ -пружинного маятника. Крім того, попутно можна визначити різноманітні фазові траєкторії, розташовані на фазових площинах.

відповідних обчисленому критичному значенню головного параметра.

Все це дозволяє здійснювати аналіз коливань 2d-пружинного маятника на якісному рівні.

Література

1. Rusbridge M.G. Motion of the spring pendulum / M.G. Rusbridge // American Journal of Physics. – 1980. – Vol. 48, no. 2. – P. 146–151.
2. Breitenberger E. The elastic pendulum: a nonlinear paradigm / E. Breitenberger, R.D. Mueller // Journal of Mathematical Physics. – 1981. – Vol. 22, no. 6. – P. 1196–1210.
3. Lai H.M. On the recurrence phenomenon of a resonant spring pendulum / H.M. Lai // American Journal of Physics. – 1984. – Vol. 52, no. 3. – P. 219–223.
4. Georgiou I.T. On the global geometric structure of the dynamics of the elastic pendulum / I.T. Georgiou // Nonlinear Dynam. – 1999. – Vol. 18. – P. 51–68.
5. Girgin Z. Investigation of Elastic Pendulum Oscillations by Simulation Technique / Z. Girgin, E. Demir // Journal of Engineering Sciences. – 2009. – 15 (1). – P. 81–86.
6. Богданов К.Ю. Хищник и жертва. – Режим доступу: <http://bio.fizteh.ru/student/files/biology/biopharticles/bioph15-arpfeludec.pdf>.
7. ODE ARCHITECT Companion (Consortium for ODE Experiments). – New York: John Wiley & Sons, Inc. – 286 p.
8. Broucke R. Periodic solutions of a spring-pendulum system / R. Broucke, P.A. Bäxa // Celestial mechanics September. – 1973. – Vol. 8, Iss. 2. – P. 261–267.
9. Gavin Henri P. Generalized Coordinates, Lagrange's Equations, and Constraints. CEE 541 / Gavin Henri P. // Structural Dynamics. – Duke University. – 2014. – 23 p.
10. Chen Y.F. Scientific computing and visualization. Spring pendulum system, top.4. – Режим доступу: http://ocw.nctu.edu.tw/upload/classbfs/209_054703145981.pdf.
11. Андронов А.А. Теория колебаний / А.А. Андронов, А.А. Витт, С.Э. Хайкин. – М.: Наука, 1981. – 568 с.
12. Анищенко В.С. Знакомство с нелинейной динамикой / В.С. Анищенко. – Москва-Ижевск: ИКИ, 2002. – 144 с.

Рецензент: В.М. Колодяжний, професор, д. фіз.-мат. н., ХНАДУ.

Стаття надійшла до редакції 2 листопада 2015 р.

РЕДАКЦИОННАЯ КОЛЛЕГИЯ

Богомолов Виктор Александрович	профессор, докт. техн. наук, заместитель ректора по научной работе, ХНАДУ, главный редактор
Бажинов Алексей Васильевич	профессор, докт. техн. наук, заведующий кафедрой автомобильной электроники, ХНАДУ, ответственный секретарь
Жданюк Валерий Кузьмович	профессор, докт. техн. наук, заведующий кафедрой строительства и эксплуатации автомобильных дорог, ХНАДУ, зам. главного редактора
Нагорный Евгений Васильевич	профессор, докт. техн. наук, заведующий кафедрой транспортных технологий, ХНАДУ, зам. главного редактора
Кириченко Игорь Георгиевич	профессор, докт. техн. наук, декан Механического факультета, ХНАДУ, зам. главного редактора
Подригальо Михаил Абович	профессор, докт. техн. наук, заведующий кафедрой технологии машиностроения та ремонта машин, ХНАДУ, зам. главного редактора
Абрамчук Федор Иванович	профессор, докт. техн. наук, заведующий кафедрой двигателей внутреннего сгорания, ХНАДУ
Алексеев Олег Павлович	профессор, докт. техн. наук, ХНАДУ
Батыгин Юрий Викторович	профессор, докт. техн. наук, заведующий кафедрой физики, ХНАДУ
Венцель Евгений Сергеевич	профессор, докт. техн. наук, заведующий кафедрой строительных и дорожных машин, ХНАДУ
Волков Владимир Петрович	профессор, докт. техн. наук, заведующий кафедрой технической эксплуатации и сервиса автомобилей, ХНАДУ
Гладкий Иван Павлович	профессор, канд. техн. наук, первый заместитель ректора, ХНАДУ
Грищенко Анатолий Владимирович	профессор, канд. техн. наук, заведующий кафедрой эксплуатации и сервиса автомобилей, ХНАДУ
Дяченко Светлана Степановна	профессор, докт. техн. наук, ХНАДУ
Золотарев Виктор Александрович	профессор, докт. техн. наук, заведующий кафедрой дорожно-строительных материалов, ХНАДУ
Клименко Валерий Иванович	профессор, канд. техн. наук, заведующий кафедрой автомобилей, ХНАДУ
Кожушко Виталий Петрович	профессор, докт. техн. наук, заведующий кафедрой конструкций и строительных сооружений ХНАДУ
Мощенок Василий Иванович	профессор, канд. техн. наук, заведующий кафедрой технологии металлов и материаловедения, ХНАДУ
Перегон Владимир Андреевич	профессор, канд. техн. наук, заведующий кафедрой деталей машин и теории механизмов и машин, ХНАДУ
Туренко Анатолий Николаевич	профессор, докт. техн. наук, ХНАДУ
Филиппов Владимир Владимирович	профессор, докт. техн. наук, ХНАДУ
Тропіна Albina Albertovna	профессор, докт. техн. наук, ХНАДУ
Каніто Павел Макарович	профессор, докт. техн. наук, ХНАДУ
Кравченко Александр Петрович	профессор, докт. техн. наук, ХНАДУ
Крайник Любомир Васильевич	профессор, докт. техн. наук, заведующий кафедрой прикладной математики, ХНАДУ
Матейчик Василий Петрович	профессор, докт. техн. наук, Институт проблем машиностроения НАН Украины, г. Харьков
Михайлінко Владимир Степанович	профессор, докт. техн. наук, заведующий кафедрой аэроники и нанотехнологий Восточноукраинского национального университета имени В. Даля, г. Луганск
Тимофєєва Лариса Андріївна	профессор, докт. техн. наук, генеральный конструктор ОАО «Укравтобуспром», г. Львов
Янютин Евгений Григорьевич	профессор, докт. техн. наук, заведующий кафедрой экологии и безопасности жизнедеятельности, Национальный технический университет, г. Киев
	профессор, докт. техн. наук, ХНУ имени В. Н. Каразина
	профессор, докт. техн. наук, заведующий кафедрой материалов и технологии изготовления изделий транспортного назначения УкрДАЗТ
	профессор, докт. техн. наук, кафедра математики ХГУПП, г. Харьков

EDITORIAL BOARD

Bogomolov Viktor Aleksandrovich.
Bazhynov Aleksey Vasilyevich.

Professor, D.Sc. (Eng.) Vice-Rector for Research, Editor in chief, KHNANU

Professor, D.Sc. (Eng.) Head of the Department of Automobile Electronics, Executive Secretary, KHNANU

Deputy Chief Editor:

Zhdanyuk Valery Kuzmovich
Nagorny Yevgeny Vasilyevich
Kirichenko Igor Georgiyevich
Podrygalo Mikhail Abovich

Professor, D.Sc. (Eng.), Head of the Department of Construction and Maintenance of Highways, deputy chief editor, KHNANU
D.Sc. (Eng.), Professor, Head of the Department of Transport Technology, deputy chief editor, KHNANU
D.Sc. (Eng.), Professor, Dean of the Faculty of Mechanics, deputy chief editor, KHNANU
D.Sc. (Eng.), Professor, Head of the Department of Manufacturing Engineering and Repair of Machinery, deputy chief editor, KHNANU

Members of the editorial board:

Abramchuk Fedor Ivanovich
Alekseyev Oleg Pavlovich
Batygin Yury Viktorovich
Ventsel Yevgeny Sergeyevich
Volkov Vladimir Petrovich
Gladky Ivan Pavlovich
Gritsenko Anatoly Vladimirovich
Dyachenko Svetlana Stepanovna
Zolotarev Viktor Aleksandrovich
Klimenko Valery Ivanovich
Kozhushko Vitaly Petrovich
Moshchenok Vasiliy Ivanovich
Peregon Vladimir Andreyevich
Turenko Anatoly Nikolaeivich
Filippov Vladimir Vladimirovich
Tropina Albina Albertovna
Kanito Pavel Makarovich
Kravchenko Aleksandr Petrovich

Professor, D.Sc. (Eng.), Head of Internal Combustion Engines' Department, KHNANU
Professor, D.Sc. (Eng.), KHNANU
Professor, D.Sc. (Eng.), Head of the Department of Physics, KHNANU
Professor, D.Sc. (Eng.), Head of the Department of Construction and Road-Building Machinery, KHNANU
Professor, D.Sc. (Eng.), Head of the Department of Vehicle Technical Maintenance, KHNANU
Professor, Ph.D. (Eng.), Deputy Rector, KHNANU
Professor, D.Sc. (Geog.), Head of the Ecology Department, KHNANU
Professor, D.Sc. (Eng.), KHNANU
Professor, D.Sc. (Eng.), Head of the Department of Technology of Building Materials, KHNANU
Professor, Ph.D. (Eng.), Head of the Automobile Department, KHNANU
Professor, U.Sc. (Eng.), Head of the Department of Bridges, Structures and Building Construction, KHNANU
Professor, Ph.D. (Eng.), Head of the Department of Metal and Materials Technology, KHNANU
Professor, Ph.D. (Eng.), Head of the Department of Machine Parts and the Theory of Mechanisms and Machines, KHNANU
Professor, D.Sc. (Eng.), Rector of Kharkiv National Automobile and Highway University (KHNANU)
Professor, D.Sc. (Eng.), KHNANU
Professor, D.Sc. (Eng.), Head of the Department of Applied Mathematics, KHNANU
Professor, D.Sc. (Eng.), Institute of Mechanical Engineering of the NAS of Ukraine, Kharkiv
Professor, D.Sc. (Eng.), Head of the Department of Autometrics and Nanotechnology, Eastern National University after Dant Lutsk
Professor, D.Sc. (Eng.), General Designer of JSC Ukravtobusprom, Lviv
Professor, D.Sc. (Eng.), Head of the Department of Ecology and Safety of Vital Functions, NTU, Kyiv
Professor, D.Sc. (Eng.), Kharkiv National University after V.N. Karazin, Kharkiv
Professor, D.Sc. (Eng.), Head of the Department of Materials and Technology of Products Manufacturing for Transport Industry UkrDAZT
Professor, D.Sc. (Eng.), Department of Mathematics, KHNANU, Kharkiv

«Вестник ХНАДУ»

- Входит в утвержденный ГАК Перечень научных профессиональных изданий Украины, в которых могут публиковаться результаты диссертационных работ на соискание научных степеней доктора и кандидата наук.
- Реферируется украинским реферативным журналом «Джерело» и входит в общегосударственную базу данных «Українська наукова» (Украина).
- Включён в международные научометрические базы данных
- Научная электронная библиотека eLIBRARY
- Российский индекс научного цитирования РИНЦ (Россия)
- Index Copernicus (Польша)
- Scholar Google

Вестник Харьковского национального автомобильно-дорожного
университета

и

Северо-Восточного научного центра
Транспортной академии Украины

Сборник научных трудов

Выпуск 71

Учредитель: Харьковский национальный автомобильно-дорожный университет

Регистрационное свидетельство: серия КВ, № 395, дата регистрации 2.02.94 г.

Адрес редакции: 61200, г. Харьков, ул. Петровского, 25, тел. 707-37-99.

Редакторы

Е.В. Хорошилова, Е.Ю. Шатина

Компьютерная верстка

Н.А. Кутиной

Технический редактор

М.Л. Пиц

Рекомендовано к изданию ученым советом ХНАДУ, протокол № 3/15 от 23.12.2015

Подписано в печать с оригинал-макета 17.11.2015 г. Формат 60×84 1/8. Бумага офсетная.

Гарнитура Times New Roman Сиг. Усл. печ. л. 18,3. Уч.-изд. л. 20,7.

Тираж 100 экз. Заказ № 441/15. Цена договорная.

ИЗДАТЕЛЬСТВО

Харьковского национального автомобильно-дорожного университета

Издательство ХНАДУ, ул. Петровского, 25. г. Харьков–ГСП. 61002

Тел. /факс: (057)700-38-72; 707-37-03, e-mail: rio@khadi.kharkov.ua

Свидетельство Государственного комитета информационной политики, телевидения
и радиовещания Украины о внесении субъекта издательского дела в Государственный
реестр издателей, изготовителей и распространителей издательской продукции,
серия ДК № 897 от 17.04.2002 г.